



Title: Characterization of a cylindrical solar dryer: Identification of the main factors in tortilla drying

Author: Pedro Estanislao, ACUÑA-AVILA, Stefani, CORTÉS-CAMARGO, , Ana Cecilia, RÍOS-SEGUNDO, Edgar Jair, CELAYA-CHATO

Editorial label ECORFAN: 607-8534
BCIERMMI Control Number: 2018-03
BCIERMMI Classification (2018): 251018-0301

Pages: 11

RNA: 03-2010-032610115700-14

ECORFAN-México, S.C.
244 – 2 Itzopan Street
La Florida, Ecatepec Municipality
Mexico State, 55120 Zipcode
Phone: +52 1 55 6159 2296
Skype: ecorfan-mexico.s.c.
E-mail: contacto@ecorfan.org
Facebook: ECORFAN-México S. C.
Twitter: @EcorfanC

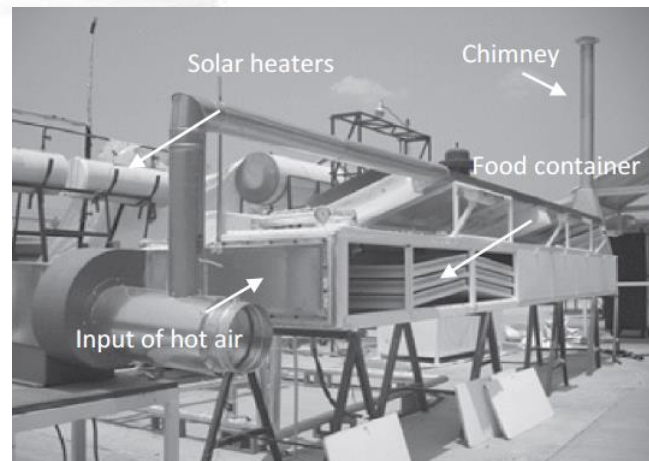
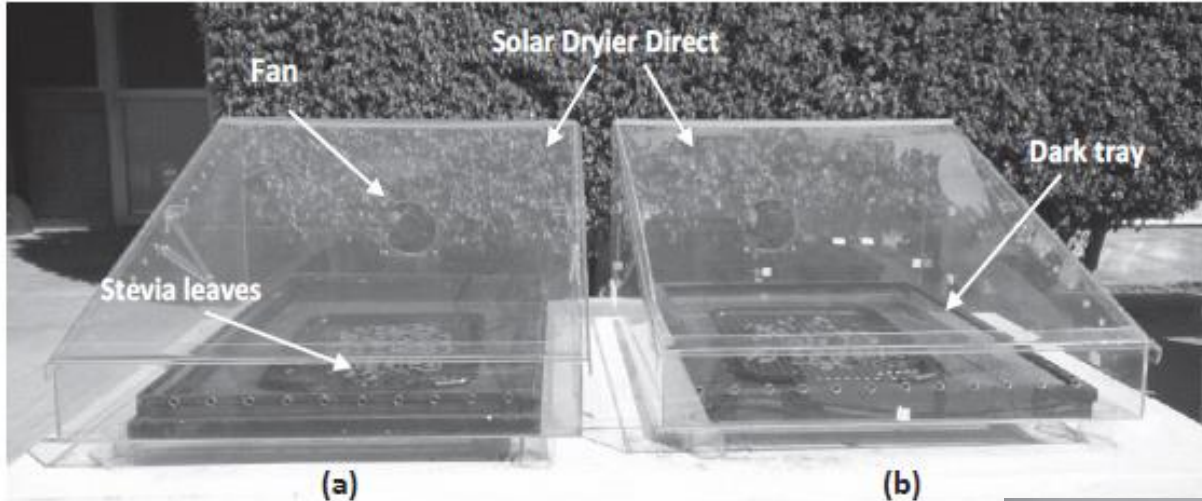
www.ecorfan.org

Holdings		
Mexico	Colombia	Guatemala
Bolivia	Cameroon	Democratic
Spain	El Salvador	Republic
Ecuador	Taiwan	of Congo
Peru	Paraguay	Nicaragua

Contenido

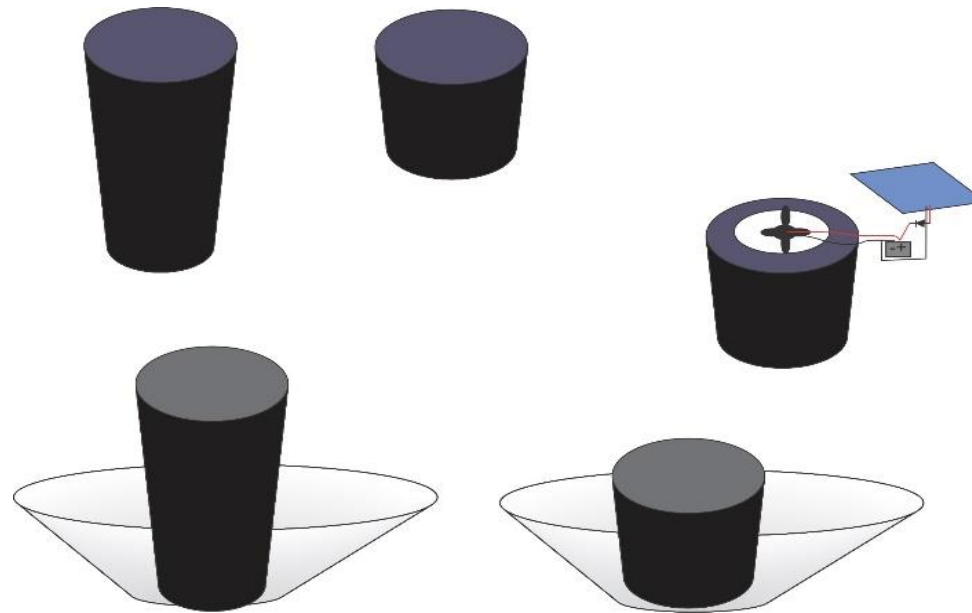
- Introducción
- Construcción del secador
- Materiales y Métodos
- Resultados
- Conclusiones

Introducción

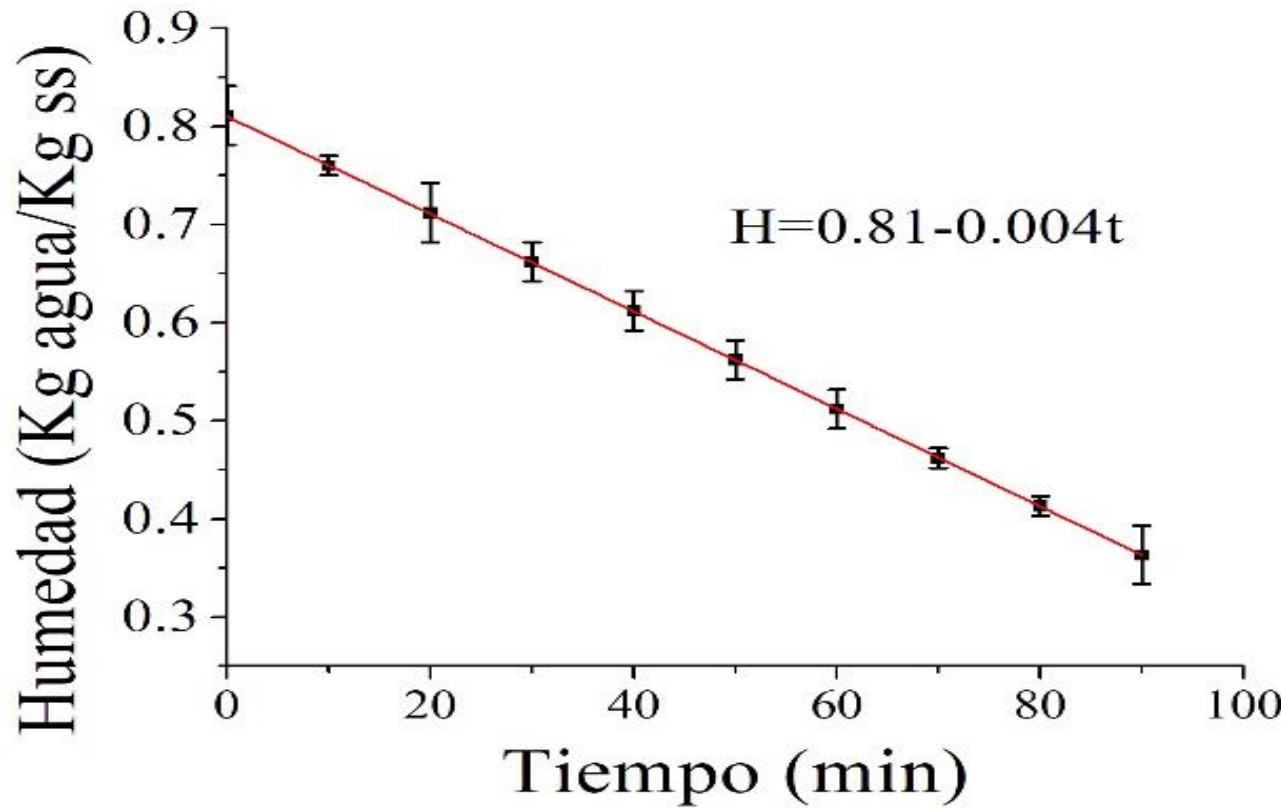


Castillo-Téllez, M., Pilatowsky-Figueroa, I., Castillo-Téllez, B., López-Vidaña, E.C., & López-Ortiz, A. (2018). Solar drying of Stevia (*Rebaudiana Bertoni*) leaves using direct and indirect technologies. *Solar Energy*, 159(June 2017), 898–907.

Construcción del secador



Secador solar con modificaciones en la altura del secador, uso de reflector y ventilador.
Fuente: Elaboración propia.



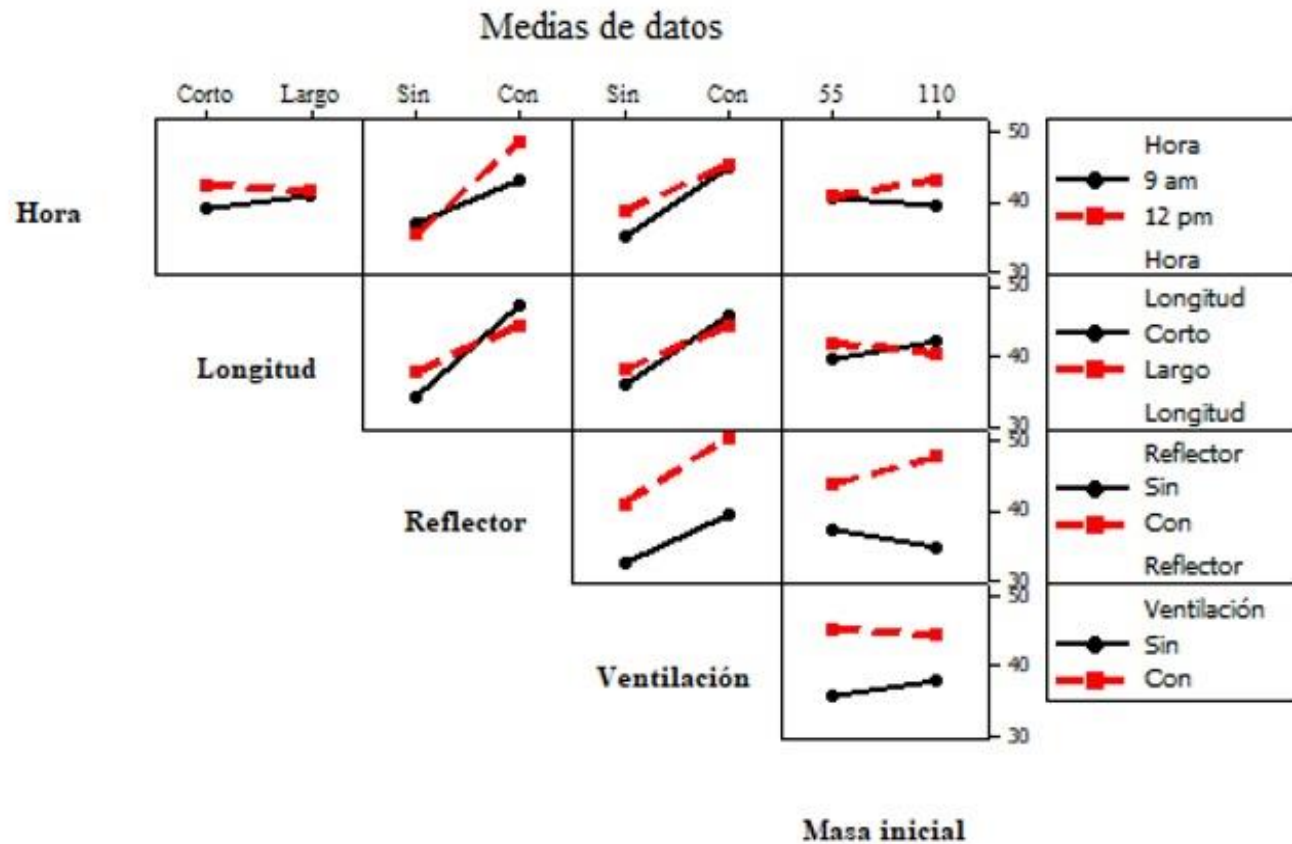
Contenido de humedad de la tortilla sometida al secado a las 12pm en un secador solar corto, sin reflector, sin ventilador utilizando 55 g de tortilla (12CSSI).

	Variables		
Factores	Valor p de Temperatura promedio	Valor p de temperatura máxima	Valor p de velocidad de secado
Hora	0.395	0.247	0.715
Longitud	0.873	0.512	0.144
Reflector	0.001*	0.02*	0.689
Ventilación	0.005*	0.049*	0.361
Masa Inicial	0.798	0.608	0.158

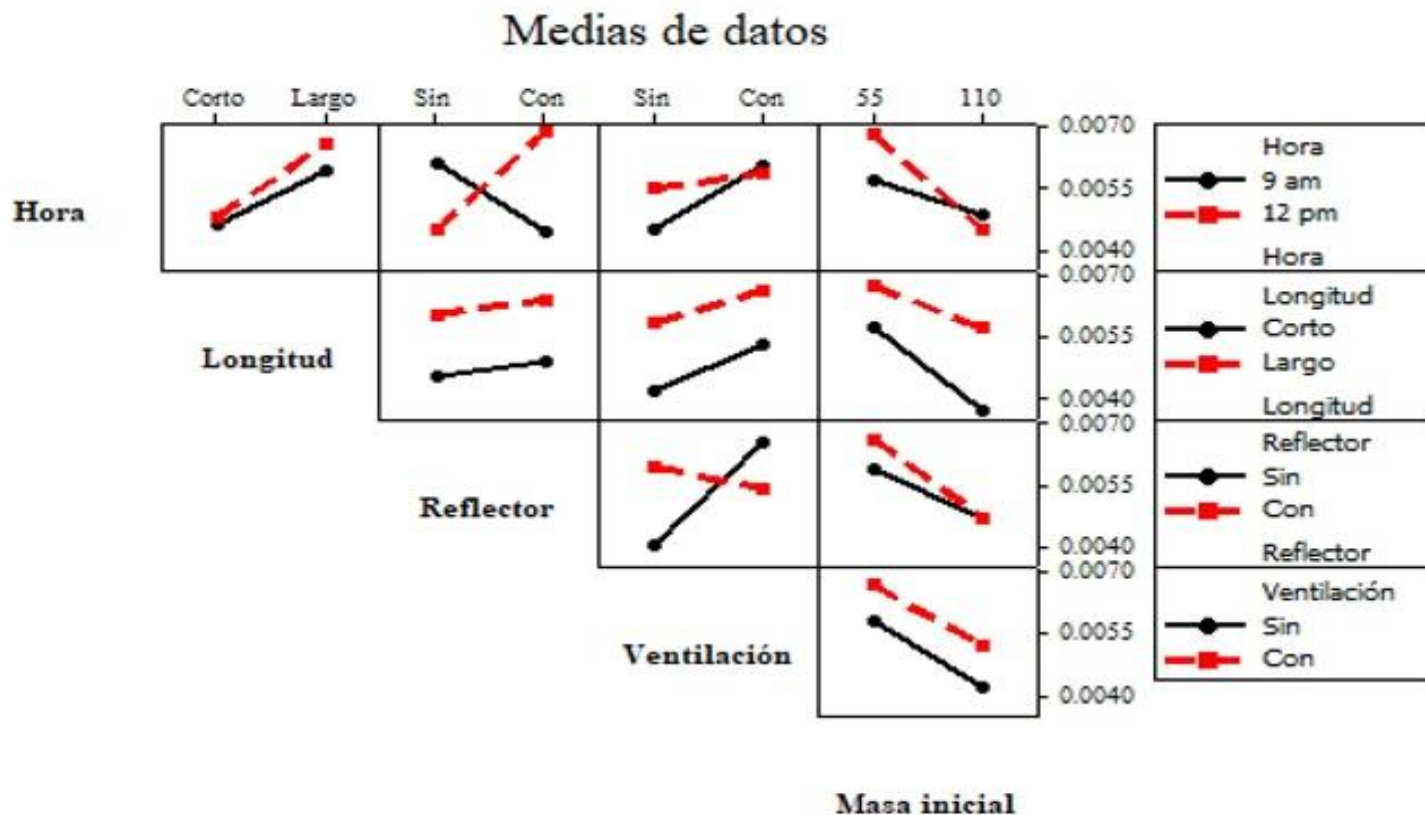
Tabla de valores p de Análisis de Varianza

$$T_{prom}({}^{\circ}\text{C}) = 40.9 + 4.96R + 4.1V$$

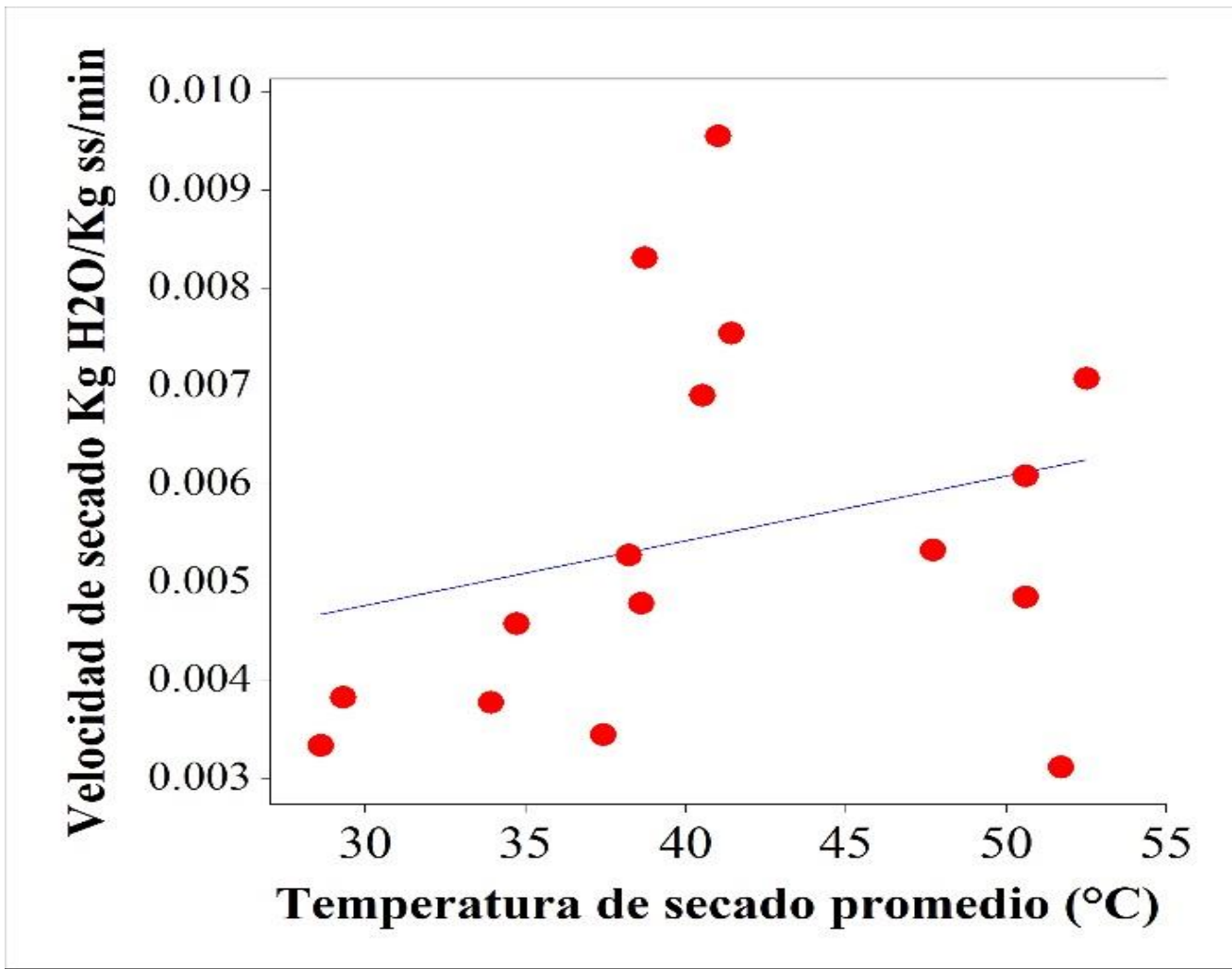
$$T_{max}({}^{\circ}\text{C}) = 46 + 4.14R + 3.35V$$



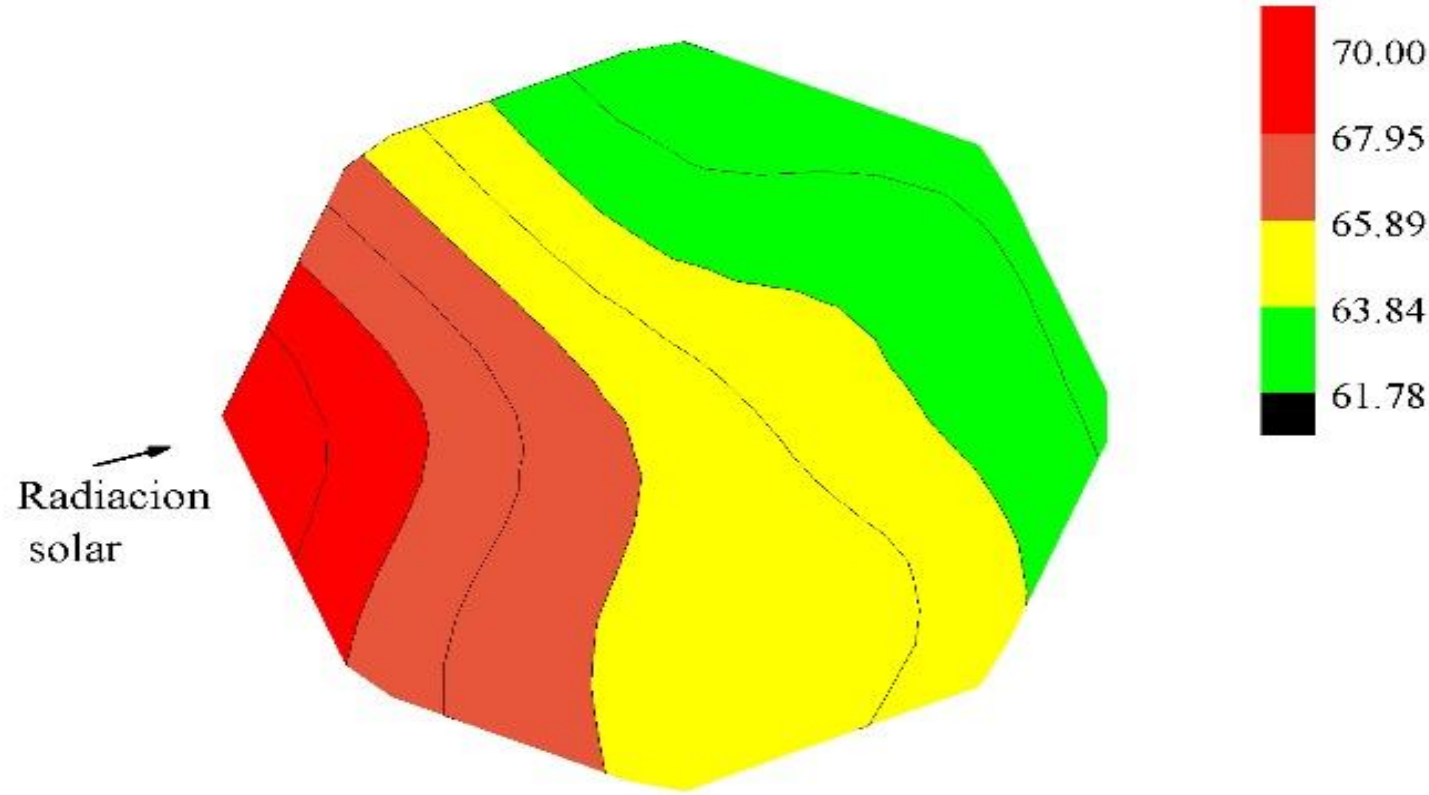
Interacción para temperatura de secado promedio ($^{\circ}\text{C}$) elaborada con las medias de los datos.



Interacción para velocidad de secado promedio (Kg agua/Kg ss/min) elaborada con las medias de datos.



Regresión lineal entre la temperatura de secado promedio y la velocidad de secado experimental.



Distribución de temperaturas dentro del secador a las 10 am en corte transversal.

Conclusiones

- Las mejores condiciones se obtuvieron cuando se utilizó el reflector, el ventilador, la configuración de secador largo.
- Además, se encontró que a menor cantidad de material a secar, la velocidad de secado fue mayor independientemente de la hora a la que se efectuó el secado.
- Se puede elaborar programas virtuales que simulen la operación del secador bajo las condiciones estudiadas
- Se propone el uso de materiales o membranas que absorban la humedad dentro del secador, para que el aire que recircula hacia el producto tenga menor contenido de agua.

Referencias

1. Bennamoun, L., & Belhamri, A. (2006). Numerical simulation of drying under variable external conditions: application to solar drying of seedless grapes. *Journal of Food Engineering*, 76(2), 179-187.
2. Boxwell, M. (2016). Solar Electricity Handbook. Greenstream Publishing Sitio web: <http://www.solarelectricityhandbook.com/free-solar-book.html> Consulta: 28 de junio de 2018
3. Castillo-Téllez, M., Pilatowsky-Figueroa, I., Castillo-Téllez, B., López-Vidaña, E.C., & López-Ortiz, A. (2018). Solar drying of Stevia (Rebaudiana Bertoni) leaves using direct and indirect technologies. *Solar Energy*, 159(June 2017), 898–907.
4. El-Sebaii, A.A., & Shalaby, S.M. (2012). Solar drying of agricultural products: A review. *Renewable and Sustainable Energy Reviews*, 16(1), 37–43.
5. Ferreira, A.G., Maia, C.B., Cortez, M.F.B., & Valle, R.M. (2008). Technical feasibility assessment of a solar chimney for food drying. *Solar Energy*, 82(3), 198–205.
6. Fudholi, A., Sopian, K., Alghoul, M.A., Ruslan, M.H., & Othman, M.Y. (2015). Performances and improvement potential of solar drying system for palm oil fronds. *Renewable Energy*, 78, 561–565.
7. Lewicki, P.P. (2006). Design of hot air drying for better foods. *Trends in Food Science and Technology*, 17(4), 153–163.
8. Maskan, M. (2001). Drying, shrinkage and rehydration characteristics of kiwifruits during hot air and microwave drying. *Journal of Food Engineering*, 48(2), 177–182.
9. Moreira, R.G., Sun, X., & Chen, Y. (1995). Factors Affecting Oil Uptake in Tortilla Chips in Deep-fat Frying. *Journal of Food Engineering*, 8774(96), 485–498.
10. Pangavhane, D.R., & Sawhney, R.L. (2002). Review of research and development work on solar dryers for grape drying. *Energy Conversion and Management*, 43(1), 45–61.
11. Rahmani, M., Kaykhai, M., & Sasani, M. (2018). Application of Taguchi L16 design method for comparative study of ability of 3A zeolite in removal of Rhodamine B and Malachite green from environmental water samples. *Spectrochimica Acta Part A: Molecular and Biomolecular Spectroscopy*, 188, 164-169.
12. Salinas-Moreno, Y., López-Reynoso, J. de J., González-Flores, G.B., & Vázquez-Carrillo, G. (2007). Compuestos fenólicos del grano de maíz y su relación con el oscurecimiento de masa y tortilla. *Agrociencia*, 41(3), 295–305.
13. Sanghi, A., Ambrose, R.P.K., & Maier, D. (2018). CFD simulation of corn drying in a natural convection solar dryer. *Drying Technology*, 36(7), 859–870.
14. Singh Chauhan, P., Kumar, A., & Tekasakul, P. (2015). Applications of software in solar drying systems: A review. *Renewable and Sustainable Energy Reviews*, 51, 1326–1337.
15. Sodha, M.S., & Chandra, R. (1994). Solar drying systems and their testing procedures: A review. *Energy Conversion and Management*, 35(3), 219–267.
16. Vijayavenkataraman, S., Iniyan, S., & Goic, R. (2012). A review of solar drying technologies. *Renewable and Sustainable Energy Reviews*, 16(5), 2652–2670.
17. Yaldız, O., & Ertekyn, C. (2001). Thin layer solar drying of some vegetables. *Drying Technology*, 19(3–4), 583–597.



ECORFAN®

© ECORFAN-Mexico, S.C.

No part of this document covered by the Federal Copyright Law may be reproduced, transmitted or used in any form or medium, whether graphic, electronic or mechanical, including but not limited to the following: Citations in articles and comments Bibliographical, compilation of radio or electronic journalistic data. For the effects of articles 13, 162,163 fraction I, 164 fraction I, 168, 169,209 fraction III and other relative of the Federal Law of Copyright. Violations: Be forced to prosecute under Mexican copyright law. The use of general descriptive names, registered names, trademarks, in this publication do not imply, uniformly in the absence of a specific statement, that such names are exempt from the relevant protector in laws and regulations of Mexico and therefore free for General use of the international scientific community. BCIERMMI is part of the media of ECORFAN-Mexico, S.C., E: 94-443.F: 008- (www.ecorfan.org/ booklets)